

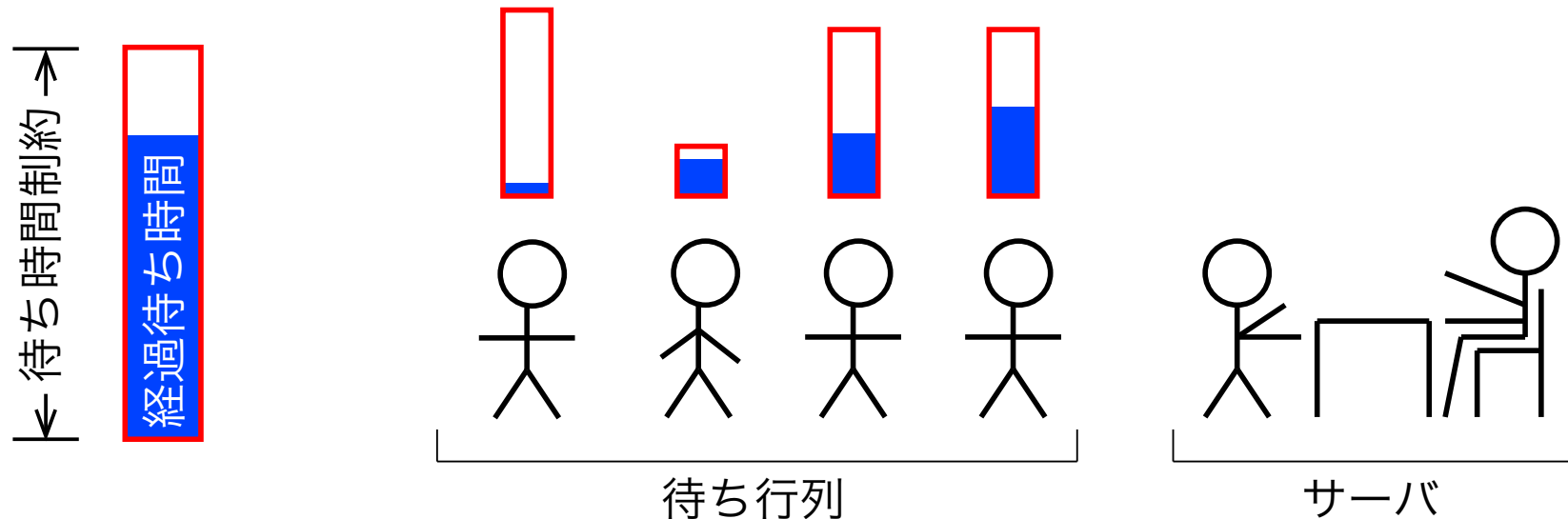
M/G/1+G 待ち行列における 呼損率の解析と数値計算

*井上 文彰, 滝根 哲哉

大阪大学工学研究科
電気電子情報工学専攻

待ち時間制約のある待ち行列モデル

- 待ち時間が長すぎると、客はサービスを受けずに離脱する



- (例) 遅延制約のあるデータ通信, コールセンタ
- ケンドールの記法

$$A / B / c + W$$

到着間隔 サービス サーバ数 待ち時間
 時間

考察するモデル

- 客がポアソン到着する単一サーバモデル (M/G/1+G) を考察
 - ◆ 客の到着は率 λ のポアソン過程に従う
 - ◆ サービス時間は分布関数 $H(x)$ に従って i.i.d.
 - ◆ 待ち時間制約は分布関数 $G(x)$ に従って i.i.d.
 - ただし, 確率 $g_\infty \in [0, 1)$ で待ち時間制約の無い客が到着
- ➔ $\lim_{x \rightarrow \infty} G(x) = 1 - g_\infty$
- 以降では, $\lambda g_\infty E[H] < 1$ を仮定 $E[H]$: 平均サービス時間
 - ➔ 系は安定であり, 定常状態が存在 [Baccelli et al. (1984)]
- また, 簡単のため $G(0) = 0, H(0) = 0$ を仮定

呼損率 P_{loss}

P_{loss} : 客がサービスを受けずに途中退去する確率

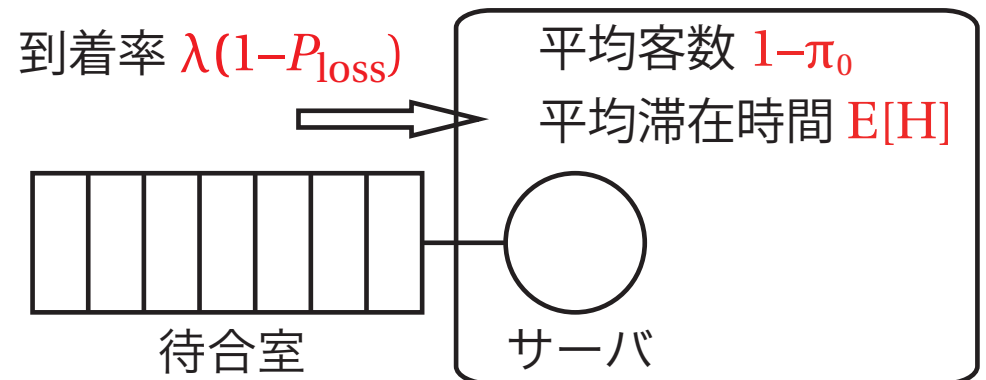
π_0 : 系が空である確率

- サーバ部分にリトルの公式を適用

$$1 - \pi_0 = \lambda(1 - P_{\text{loss}})E[H]$$

➡ P_{loss} は π_0 を用いて与えられる ($\rho \triangleq \lambda E[H]$)

$$P_{\text{loss}} = \frac{\rho - (1 - \pi_0)}{\rho}$$



呼損率 P_{loss}

P_{loss} : 客がサービスを受けずに途中退去する確率

π_0 : 系が空である確率

- サーバ部分にリトルの公式を適用

$$1 - \pi_0 = \lambda(1 - P_{\text{loss}})E[H]$$

➡ P_{loss} は π_0 を用いて与えられる ($\rho \triangleq \lambda E[H]$)

$$P_{\text{loss}} = \frac{\rho - (1 - \pi_0)}{\rho}$$

- さらに, π_0 は仮待ち時間の密度関数 $\nu(x)$ ($x > 0$) より得られる
[Baccelli et al. (1984)]

M/G/1+G の仮待ち時間分布 [Baccelli et al. (1984)]

$\tilde{h}(x)$: サービスの平衡分布の密度, $\bar{G}(x)$: 待ち時間制約の補分布

- 確率フローの平衡より, 次式が導かれる

$$v(x) = \rho \pi_0 \tilde{h}(x) + \rho \int_{0+}^x v(y) \bar{G}(y) \tilde{h}(x-y) dy, \quad x > 0$$

- ➡ この積分方程式から, $v(x)$ ($x > 0$) は一意に定められる

$$v(x) = \pi_0 \sum_{n=1}^{\infty} u(n; x)$$

$$u(1; x) = \rho \tilde{h}(x), \quad u(n; x) = \rho \int_{0+}^x u(n-1; y) \bar{G}(y) \tilde{h}(x-y) dy, \quad n = 2, 3, \dots$$

- 正規化条件より, π_0 は次式で与えられる ($\Rightarrow P_{\text{loss}}$ が求まる)

$$\pi_0 = \left[1 + \sum_{n=1}^{\infty} c_n \right]^{-1}, \quad c_n = \int_{0+}^{\infty} u(n; x) dx$$

発表の概要

- 発表者らの知る限り, これまで, M/G/1+G の P_{loss} に関して [Baccelli et al. (1984)] の結果以上のことは報告されていない
 - ◆ P_{loss} は, 再帰的に定まる関数列を用いて与えられている
 - ➡ $\lambda, H(x), G(x)$ が P_{loss} に与える影響を評価するのは困難

本発表では,

- P_{loss} に対する陽表現公式を導出
 - ➡ $\lambda, H(x), G(x)$ が P_{loss} に与える影響を理論的に考察
- M/G/1+PH に対する数値計算法を構築
 - ➡ $\lambda, H(x), G(x)$ が P_{loss} に与える影響を数値的に考察

M/G/1+G における P_{loss} の解析

呼損率 P_{loss} の陽表現公式

- 呼損率 P_{loss} は次式で与えられる

$$P_{\text{loss}} = \frac{\rho - (1 - \pi_0)}{\rho}, \quad \pi_0 = \left(1 + \sum_{n=1}^{\infty} c_n\right)^{-1}$$

ただし,

$$c_1 = \rho, \quad c_n = \rho^n \mathbb{E} \left[\prod_{i=1}^{n-1} \bar{G} \left(\sum_{j=1}^i \tilde{H}_j \right) \right], \quad n = 2, 3, \dots$$

- ◆ $\{\tilde{H}_n\}_{n=1,2,\dots}$: サービスの平衡分布に従う i.i.d. 確率変数列
- ◆ $\bar{G}(x)$: 待ち時間制約の補分布関数
- この陽表現公式をもとに, モデルのパラメータ $\lambda, H(x), G(x)$ が P_{loss} に与える影響を評価できる

(準備) 通常の確率順序と凸順序

X, Y : 非負の確率変数

- 通常 of 確率順序 (\leq_{st}) : 確率変数の **大きさ** を比較

$$X \leq_{st} Y \Leftrightarrow \Pr(X > x) \leq \Pr(Y > x), \quad \forall x \geq 0$$

- 凸順序 (\leq_{cx}) : 確率変数の **変動の大きさ** を比較

$$X \leq_{cx} Y \Leftrightarrow E[X] = E[Y] \text{ かつ}$$

$$\int_x^\infty \Pr(X > x) dx \leq \int_x^\infty \Pr(Y > x) dx, \quad \forall x \geq 0$$

$$\Leftrightarrow E[X] = E[Y] \text{ かつ } \tilde{X} \leq_{st} \tilde{Y}$$

(\tilde{X}, \tilde{Y} : X, Y の平衡確率変数)

- ◆ 特に, $X \leq_{cx} Y \Rightarrow \text{Cv}[X] \leq \text{Cv}[Y]$ (Cv[·] : 変動係数)

モデルのパラメータが P_{loss} に与える影響

二つの定常な M/G/1+G 待ち行列を考える
(肩文字 $\langle k \rangle$ で, k 番目の待ち行列の量を表す)

$H^{\langle k \rangle}$: サービス時間
$G^{\langle k \rangle}$: 待ち時間制約

(i) 同じ到着率とサービス時間分布をもつ場合

$$G^{\langle 1 \rangle} \leq_{\text{st}} G^{\langle 2 \rangle} \Rightarrow P_{\text{loss}}^{\langle 1 \rangle} \geq P_{\text{loss}}^{\langle 2 \rangle} \quad (\text{待ち時間制約が厳しい} \Rightarrow P_{\text{loss}} \text{が大})$$

(ii) 同じ到着率, 平均サービス時間, 待ち時間制約分布をもつ場合

$$H^{\langle 1 \rangle} \leq_{\text{cx}} H^{\langle 2 \rangle} \Rightarrow P_{\text{loss}}^{\langle 1 \rangle} \leq P_{\text{loss}}^{\langle 2 \rangle} \quad (\text{サービス時間の変動大} \Rightarrow P_{\text{loss}} \text{が大})$$

(iii) 同じサービス時間分布と待ち時間制約分布をもつ場合

$$\lambda^{\langle 1 \rangle} \leq \lambda^{\langle 2 \rangle} \Rightarrow P_{\text{loss}}^{\langle 1 \rangle} \leq P_{\text{loss}}^{\langle 2 \rangle} \quad (\text{到着率大} \Rightarrow P_{\text{loss}} \text{が大})$$

証明の概略

$$P_{\text{loss}} = 1 - \frac{1 - \pi_0}{\rho}, \quad \pi_0 = \left(1 + \sum_{n=1}^{\infty} c_n\right)^{-1}, \quad c_n = \rho^n \mathbb{E} \left[\prod_{i=1}^{n-1} \bar{G} \left(\sum_{j=1}^i \tilde{H}_j \right) \right]$$

(i) $G^{(1)} \leq_{\text{st}} G^{(2)} \Rightarrow P_{\text{loss}}^{(1)} \geq P_{\text{loss}}^{(2)}$ ($\lambda^{(1)} = \lambda^{(2)}$ かつ $H^{(1)} =_{\text{st}} H^{(2)}$ のとき)

◆ 仮定より, $\forall n, c_n^{(1)} \leq c_n^{(2)}$ かつ $\rho^{(1)} = \rho^{(2)}$ が成立

➔ $1 - \pi_0^{(1)} \leq 1 - \pi_0^{(2)}$ かつ $\rho^{(1)} = \rho^{(2)}$ より $P_{\text{loss}}^{(1)} \geq P_{\text{loss}}^{(2)}$

(ii) の証明は (i) と同様

(iii) $\lambda^{(1)} \leq \lambda^{(2)} \Rightarrow P_{\text{loss}}^{(1)} \leq P_{\text{loss}}^{(2)}$ ($H^{(1)} =_{\text{st}} H^{(2)}$ かつ $G^{(1)} =_{\text{st}} G^{(2)}$ のとき)

◆ 仮定より, $1 - \pi_0^{(1)} \leq 1 - \pi_0^{(2)}$ かつ $\rho^{(1)} \leq \rho^{(2)}$

- λ の増加に伴い, 分母と分子が共に増加
- (iii) の証明には, $\{c_n\}_{n=1,2,\dots}$ がもつ性質の議論が必要 (詳細は省略)

M/G/1+PH における P_{loss} の数値計算

数値計算において生じる問題点

$$c_1 = \rho, \quad c_n = \rho^n \mathbb{E} \left[\prod_{i=1}^{n-1} \bar{G} \left(\sum_{j=1}^i \tilde{H}_j \right) \right], \quad n = 2, 3, \dots$$

- (例) 待ち時間制約分布が超指数 $\bar{G}(x) = pe^{-\gamma_1 x} + (1-p)e^{-\gamma_2 x}$

$$\begin{aligned} c_3 &= \rho^3 \mathbb{E} \left[\{pe^{-\gamma_1 \tilde{H}_1} + (1-p)e^{-\gamma_2 \tilde{H}_1}\} \{pe^{-\gamma_1(\tilde{H}_1 + \tilde{H}_2)} + (1-p)e^{-\gamma_2(\tilde{H}_1 + \tilde{H}_2)}\} \right] \\ &= \rho^3 \left\{ p^2 \cdot \mathbb{E}[e^{-2\gamma_1 \tilde{H}_1}] \mathbb{E}[e^{-\gamma_1 \tilde{H}_2}] \right. \\ &\quad + p(1-p) \cdot \mathbb{E}[e^{-(\gamma_1 + \gamma_2) \tilde{H}_1}] \mathbb{E}[e^{-\gamma_2 \tilde{H}_2}] \\ &\quad + (1-p)p \cdot \mathbb{E}[e^{-(\gamma_2 + \gamma_1) \tilde{H}_1}] \mathbb{E}[e^{-\gamma_1 \tilde{H}_2}] \\ &\quad \left. + (1-p)^2 \cdot \mathbb{E}[e^{-2\gamma_2 \tilde{H}_1}] \mathbb{E}[e^{-\gamma_2 \tilde{H}_2}] \right\} \end{aligned}$$

数値計算において生じる問題点

$$c_1 = \rho, \quad c_n = \rho^n \mathbb{E} \left[\prod_{i=1}^{n-1} \bar{G} \left(\sum_{j=1}^i \tilde{H}_j \right) \right], \quad n = 2, 3, \dots$$

- (例) 待ち時間制約分布が超指数 $\bar{G}(x) = pe^{-\gamma_1 x} + (1-p)e^{-\gamma_2 x}$

$$c_3 = \rho^3 \mathbb{E} \left[\{pe^{-\gamma_1 \tilde{H}_1} + (1-p)e^{-\gamma_2 \tilde{H}_1}\} \{pe^{-\gamma_1(\tilde{H}_1 + \tilde{H}_2)} + (1-p)e^{-\gamma_2(\tilde{H}_1 + \tilde{H}_2)}\} \right]$$

$$\begin{aligned} &= \rho^3 \left\{ p^2 \cdot \tilde{h}^*(2\gamma_1) \tilde{h}^*(\gamma_1) \right. \\ &\quad + p(1-p) \cdot \tilde{h}^*(\gamma_1 + \gamma_2) \tilde{h}^*(\gamma_2) \\ &\quad + (1-p)p \cdot \tilde{h}^*(\gamma_1 + \gamma_2) \tilde{h}^*(\gamma_1) \\ &\quad \left. + (1-p)^2 \cdot \tilde{h}^*(2\gamma_2) \tilde{h}^*(\gamma_2) \right\} \end{aligned}$$

$\tilde{h}^*(s)$: \tilde{H} の LST

数値計算において生じる問題点

$$c_1 = \rho, \quad c_n = \rho^n \mathbb{E} \left[\prod_{i=1}^{n-1} \bar{G} \left(\sum_{j=1}^i \tilde{H}_j \right) \right], \quad n = 2, 3, \dots$$

- (例) 待ち時間制約分布が超指数 $\bar{G}(x) = pe^{-\gamma_1 x} + (1-p)e^{-\gamma_2 x}$

$$\begin{aligned} c_4 = \rho^4 \{ & p^3 \cdot \tilde{h}^*(3\gamma_1) \tilde{h}^*(2\gamma_1) \tilde{h}^*(\gamma_1) \\ & + p^2(1-p) \cdot \tilde{h}^*(2\gamma_1 + \gamma_2) \tilde{h}^*(\gamma_1 + \gamma_2) \tilde{h}^*(\gamma_2) \\ & + p^2(1-p) \cdot \tilde{h}^*(2\gamma_1 + \gamma_2) \tilde{h}^*(\gamma_1 + \gamma_2) \tilde{h}^*(\gamma_1) \\ & + p(1-p)^2 \cdot \tilde{h}^*(\gamma_1 + 2\gamma_2) \tilde{h}^*(2\gamma_2) \tilde{h}^*(\gamma_2) \\ & + p^2(1-p) \cdot \tilde{h}^*(2\gamma_1 + \gamma_2) \tilde{h}^*(2\gamma_1) \tilde{h}^*(\gamma_1) \\ & + p(1-p)^2 \cdot \tilde{h}^*(\gamma_1 + 2\gamma_2) \tilde{h}^*(\gamma_1 + \gamma_2) \tilde{h}^*(\gamma_2) \\ & + p(1-p)^2 \cdot \tilde{h}^*(\gamma_1 + 2\gamma_2) \tilde{h}^*(\gamma_1 + \gamma_2) \tilde{h}^*(\gamma_1) \} \\ & + (1-p)^3 \cdot \tilde{h}^*(3\gamma_2) \tilde{h}^*(2\gamma_2) \tilde{h}^*(\gamma_2) \} \end{aligned}$$

c_n を計算するには、
異なる 2^{n-1} 項の加算が必要

M/G/1+PH における c_n の計算法 (1)

待ち時間制約は相型分布 (α, T) に従う

- $\bar{G}(x) = \alpha \exp(Tx) \mathbf{e}$ (\mathbf{e} は要素が全て 1 の列ベクトル)

$$\bar{G}(x) = \sum_{m=0}^{\infty} \frac{\exp[-\theta x] (\theta x)^m}{m!} \cdot \bar{\mathbf{g}}_m \quad \boxed{\bar{G}(x) \text{ を一様化}}$$

θ : T の対角要素の最大の絶対値, $\bar{\mathbf{g}}_m = \alpha [I + \theta^{-1} T]^m \mathbf{e}$

- $\bar{\mathbf{g}}^*$ を, 第 m 要素 ($m = 0, 1, \dots$) が $\bar{\mathbf{g}}_m$ の $\infty \times 1$ ベクトルとする
- $b_n(k, m)$ および $\tilde{h}^{[m]}(n\theta)$ を次式で定義する

$$b_n(k, m) = \binom{k}{m} \left[\frac{n}{n+1} \right]^m \left[\frac{1}{n+1} \right]^{k-m}$$

二項分布 $\left(k, \frac{n}{n+1}\right)$
の確率関数

$$\tilde{h}^{[m]}(n\theta) = \int_0^{\infty} \frac{\exp[-n\theta x] (n\theta x)^m}{m!} \cdot \tilde{h}(x) dx$$

サービス分布から
計算可能な確率関数

M/G/1+PH における c_n の計算法 (2)

- $\infty \times 1$ ベクトル \mathbf{a}_n ($n = 0, 1, \dots$) を次の漸化式により定義する

$$\mathbf{a}_0 = \bar{\mathbf{g}}^*, \quad \mathbf{a}_n = \bar{\mathbf{B}}_n \tilde{\mathbf{H}}(n\theta) \mathbf{a}_{n-1}, \quad n = 1, 2, \dots$$

ただし,

$$\bar{\mathbf{B}}_n = \begin{pmatrix} 1 & 0 & 0 & \cdots \\ b_n(1,0)\bar{g}_1 & b_n(1,1) & 0 & \cdots \\ b_n(2,0)\bar{g}_2 & b_n(2,1)\bar{g}_1 & b_n(2,2) & \cdots \\ \vdots & \vdots & \vdots & \ddots \end{pmatrix}$$
$$\tilde{\mathbf{H}}(n\theta) = \begin{pmatrix} \tilde{h}^{[0]}(n\theta) & \tilde{h}^{[1]}(n\theta) & \tilde{h}^{[2]}(n\theta) & \cdots \\ 0 & \tilde{h}^{[0]}(n\theta) & \tilde{h}^{[1]}(n\theta) & \cdots \\ 0 & 0 & \tilde{h}^{[0]}(n\theta) & \cdots \\ \vdots & \vdots & \vdots & \ddots \end{pmatrix}$$

M/G/1+PH における c_n の計算法 (2)

- $\infty \times 1$ ベクトル \mathbf{a}_n ($n = 0, 1, \dots$) を次の漸化式により定義する

$$\mathbf{a}_0 = \bar{\mathbf{g}}^*, \quad \mathbf{a}_n = \bar{\mathbf{B}}_n \tilde{\mathbf{H}}(n\theta) \mathbf{a}_{n-1}, \quad n = 1, 2, \dots$$

- c_n は \mathbf{a}_{n-1} の最初の要素から求められる

$$c_n = \rho^n [\mathbf{a}_{n-1}]_0, \quad n = 1, 2, \dots$$

$$P_{\text{loss}} = \frac{\rho - (1 - \pi_0)}{\rho}$$

$$\pi_0 = \left(1 + \sum_{n=1}^{\infty} c_n \right)^{-1}$$

- \mathbf{a}_n の有限次元近似は効率的に計算できる

- ◆ この近似に加え、有限の n において

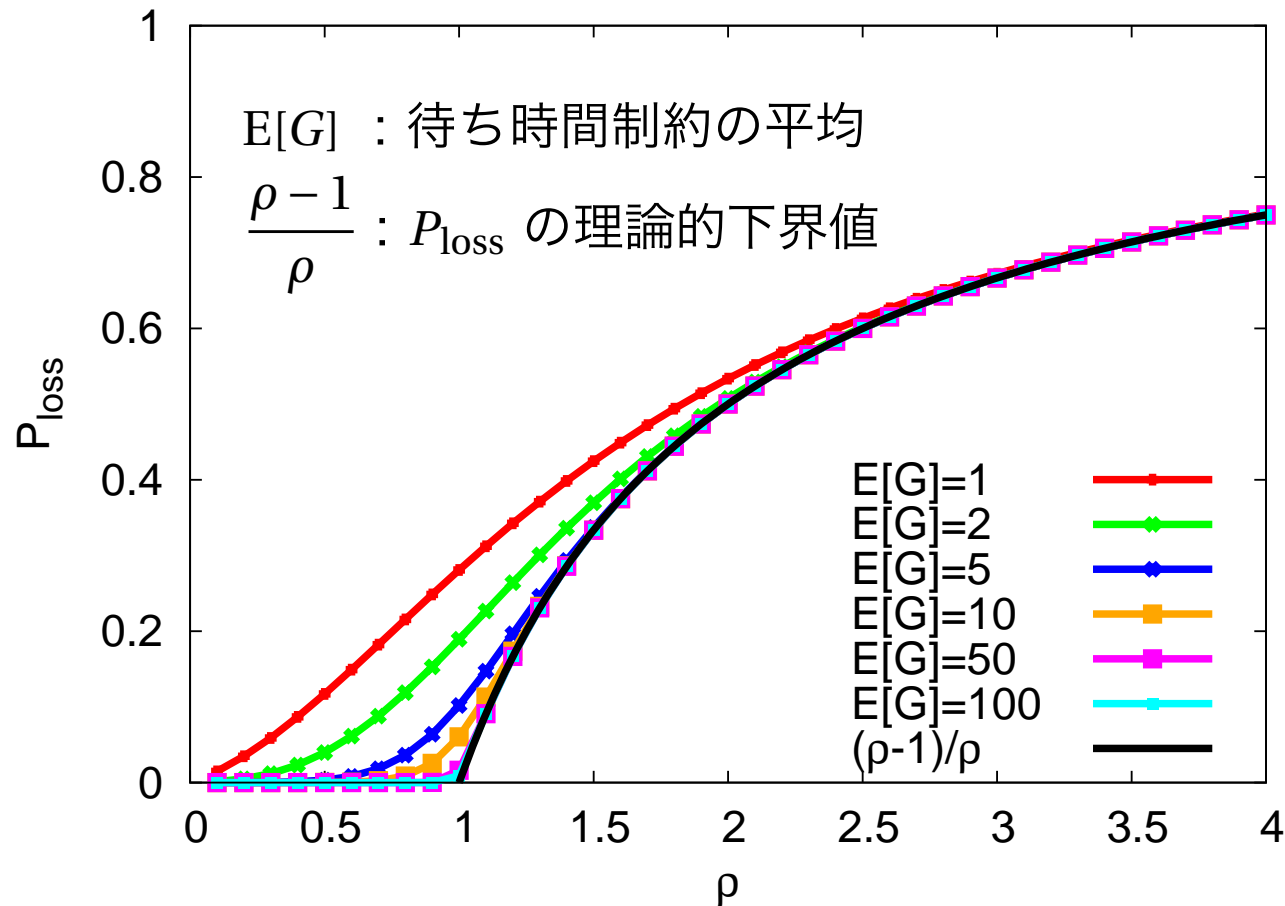
- c_n の計算を打ち切るため、 P_{loss} の値に誤差が生じる

- ◆ これらの近似で生じた誤差の上界を求めることが可能

数值例

待ち時間制約の長さが P_{loss} に与える影響

待ち時間制約：ステージ数 11 と 12 の混合アーラン (変動係数 0.3)
サービス時間：長さ 1 の固定長



$E[G]$ が減少すると,
 P_{loss} が大きくなる

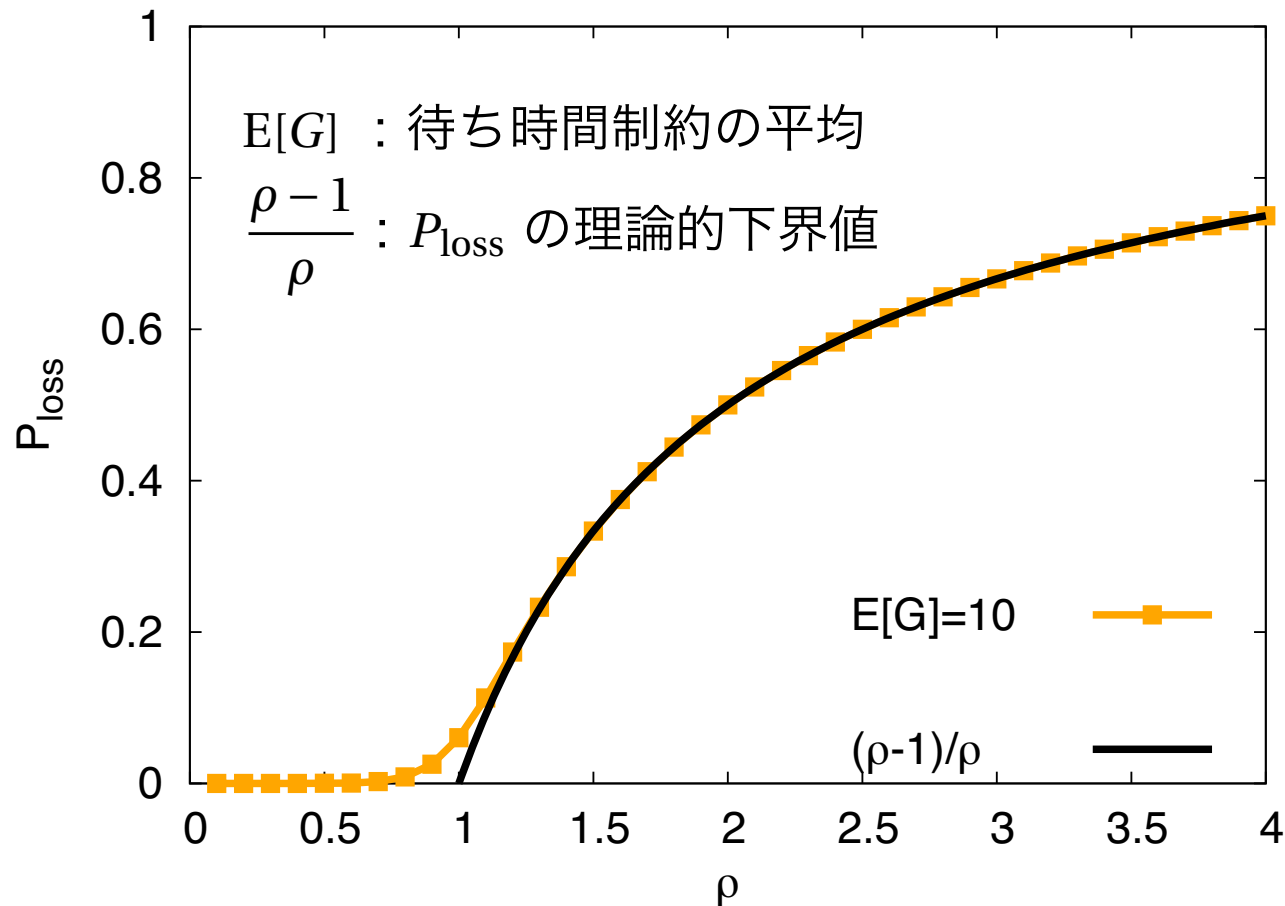
ρ が増加すると,
 P_{loss} は $\frac{\rho-1}{\rho}$ に漸近
➡ $E[G]$ による差は
小さくなる

サービス時間の変動が P_{loss} に与える影響

待ち時間制約：ステージ数 11 と 12 の混合アーラン (変動係数 0.3)

サービス時間：長さ 1 の固定長

$E[G] = 10$ に固定

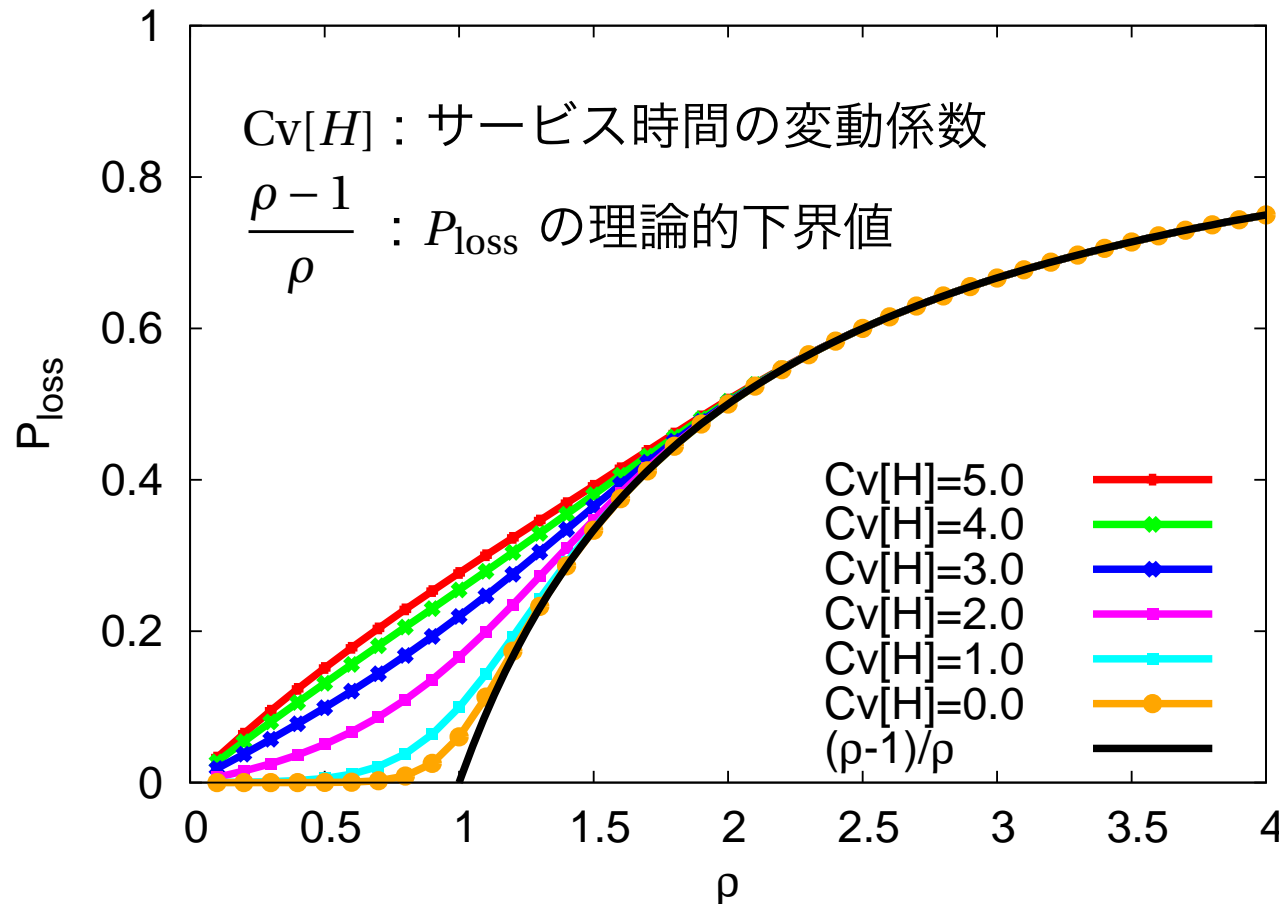


サービス時間の変動が P_{loss} に与える影響

待ち時間制約：ステージ数 11 と 12 の混合アーラン (変動係数 0.3)

サービス時間：長さ 1 の固定長, および平均 1 の平衡超指数分布

$E[G] = 10$ に固定



$Cv[H]$ が増加すると
 P_{loss} が大きくなる

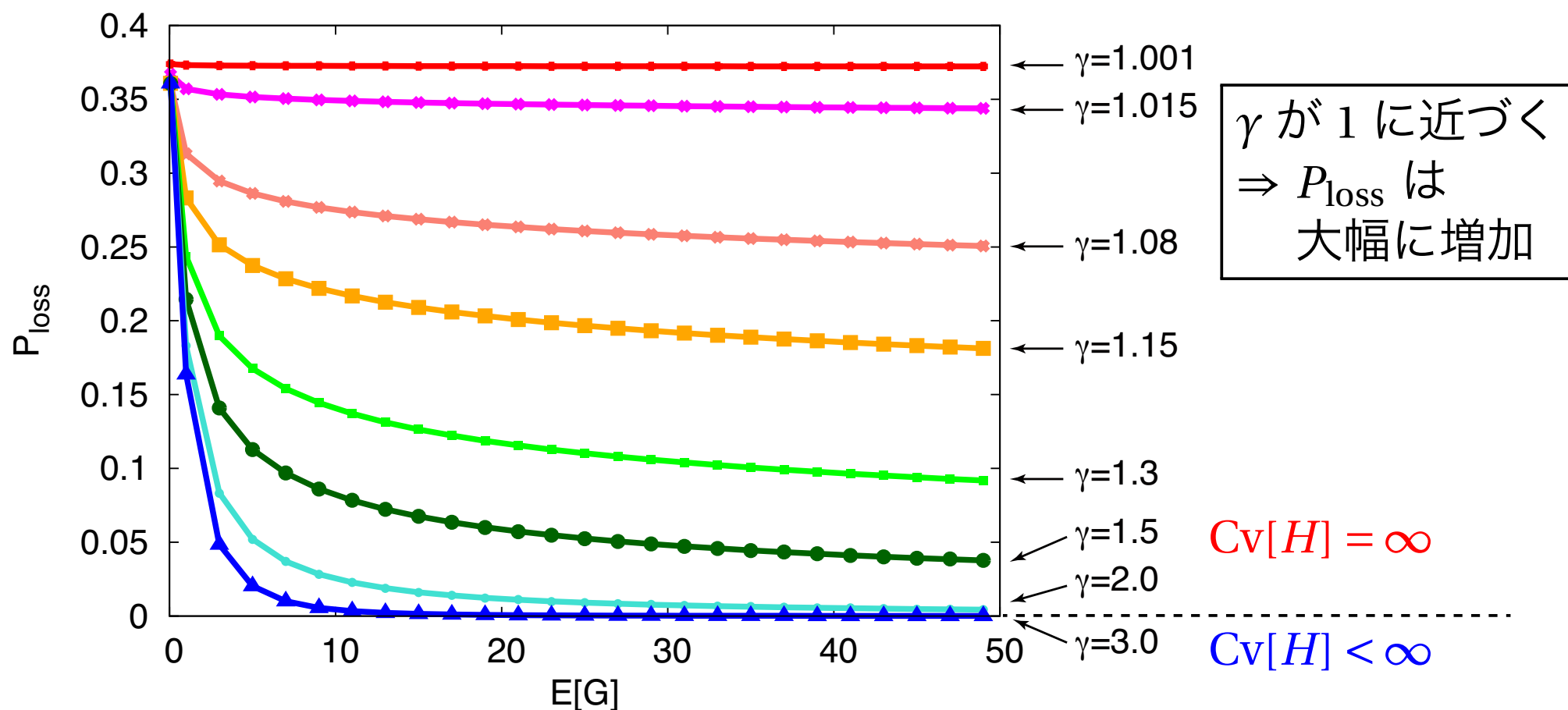
ρ が増加すると,
 P_{loss} は $\frac{\rho-1}{\rho}$ に漸近
➡ $Cv[H]$ による差は
小さくなる

サービス時間がパレート分布に従う場合

待ち時間制約：ステージ数 11 と 12 の混合アーラン (変動係数 0.3)

サービス時間：平均 1, 形状パラメタ γ のパレート分布

$\rho = 0.6$ に固定



まとめ

- M/G/1+G における呼損率 P_{loss} を考察
- 先行研究では、再帰的に定まる関数列により P_{loss} を与えている
 - ➡ $\lambda, H(x), G(x)$ が P_{loss} に与える影響を評価するのは困難

本発表では、

- P_{loss} に対する陽表現公式を導出
 - ➡ $\lambda, H(x), G(x)$ が P_{loss} に与える影響を理論的に考察
- M/G/1+PH に対する数値計算法を構築
 - ➡ $\lambda, H(x), G(x)$ が P_{loss} に与える影響を数値的に考察

M/G/1+PH に関する補足

$$u(1; x) = \rho \tilde{h}(x), \quad u(n; x) = \rho \int_{0+}^x u(n-1; y) \bar{G}(y) \tilde{h}(x-y) dy, \quad n = 2, 3, \dots$$

- $\mathbf{u}^*(n; \theta)$: 第 m 要素が次式で与えられる $1 \times \infty$ ベクトル

$$u^{[m]}(n; \theta) = \int_{0+}^{\infty} \frac{\exp[-\theta x] (\theta x)^m}{m!} \cdot u(n; x) dx, \quad m = 0, 1, \dots$$

- このとき $\mathbf{u}^*(n; \theta)$ は次式で与えられる

$$\mathbf{u}^*(n; \theta) = \rho^n \tilde{\mathbf{h}}(n\theta) \cdot \bar{\mathbf{B}}_{n-1} \tilde{\mathbf{H}}((n-1)\theta) \cdot \bar{\mathbf{B}}_{n-2} \tilde{\mathbf{H}}((n-2)\theta) \cdots \bar{\mathbf{B}}_1 \tilde{\mathbf{H}}(\theta)$$

◆ $\tilde{\mathbf{h}}(n\theta)$: $\tilde{\mathbf{H}}(n\theta)$ の最初の行ベクトル

- さらに, $c_n = \mathbf{u}^*(n-1; \theta) \bar{\mathbf{g}}^*$ が成立するため

$$c_n = \rho^n \tilde{\mathbf{h}}((n-1)\theta) \cdot \bar{\mathbf{B}}_{n-2} \tilde{\mathbf{H}}((n-2)\theta) \cdot \bar{\mathbf{B}}_{n-3} \tilde{\mathbf{H}}((n-3)\theta) \cdots \bar{\mathbf{B}}_1 \tilde{\mathbf{H}}(\theta) \bar{\mathbf{g}}^*$$